



Pengaruh Komposisi Elektrolit pada Proses Penyisihan Nikel dari Tiruan Air Limbah Elektroplating Menggunakan Sel Elektrodeposisi Dua Ruang

Selly Ayu Janetasari^{a,*}; Djaenudin^a

^a Loka Penelitian Teknologi Bersih, Lembaga Ilmu Pengetahuan Indonesia, Jl. Cisitu Sangkuriang Bandung 40135, Indonesia

* Corresponding author: cellyayu@gmail.com

<https://doi.org/10.14710/jksa.22.4.143-149>

Article Info

Article history:

Received: 6 May 2019

Revised: 15 July 2019

Accepted: 20 July 2019

Online: 31 July 2019

Keywords:

nickel removal; double chamber electrodeposition cell; anolyte H_2SO_4 ; $\text{pH}_{\text{initial}}$ catholyte; supporting electrolyte Na_2SO_4

Abstract

Title: Effect of Electrolyte Composition on Nickel Removal Process from Artificial Electroplating Wastewater Using Two-Room Electrodeposition Cells

Research of removal of soluble nickel from artificial electroplating wastewater has been investigated. The research aim to know optimum elektrolit composition in nickel electrodeposition process. This study was conducted within a batch system using double chamber electrodeposition cell separated by water hyacinth leaf. Electrodeposition cell was equipped with a copper plate as cathode, graphite plate as anode, H_2SO_4 anolyte, NiSO_4 catholyte with Na_2SO_4 added as supporting electrolyte. Electrodeposition performed at 5V direct current voltage for 4 hours each running and varied the concentration of H_2SO_4 anolyte (0,2 M; 0,6 M and 1 M), $\text{pH}_{\text{initial}}$ catholyte (2; 4 and 6) and Na_2SO_4 (catholyte) supporting electrolyte (0 M; 0,2 M; 0,6 M and 1 M). The statistic analysis results showed that the concentration of 0.2 M H_2SO_4 , $\text{pH}_{\text{initial}}$ catholyte of 6 and 0.2 M Na_2SO_4 with an optimum concentration of nickel concentration values decrease of 18,433 % and nickel deposition on the cathode of 0.042 grams.

Abstrak

Kata Kunci:

penyisihan nikel; sel elektrodeposisi dua ruang; anolit H_2SO_4 ; pH_{awal} katolit; elektrolit pendukung Na_2SO_4

Telah dilakukan penelitian untuk menurunkan konsentrasi nikel dari tiruan air limbah elektroplating. Penelitian ini bertujuan untuk mengetahui komposisi elektrolit optimum pada proses elektrodeposisi nikel. Penelitian dilakukan dengan sistem *batch* menggunakan sel elektrodeposisi dua ruang yang dipisahkan dengan daun eceng gondok. Sel elektrodeposisi dilengkapi dengan katoda pelat tembaga, anoda pelat grafit, anolit larutan H_2SO_4 , katolit larutan NiSO_4 ditambah elektrolit pendukung larutan Na_2SO_4 . Elektrodeposisi dilakukan pada tegangan listrik searah sebesar 5V selama 1 jam setiap tempuhannya dan dilakukan variasi konsentrasi anolit H_2SO_4 (0,2 M; 0,6 M dan 1 M), pH_{awal} katolit (2; 4 dan 6) dan konsentrasi elektrolit pendukung Na_2SO_4 (0 M; 0,2 M; 0,6 M dan 1M) dalam katolit. Hasil analisis statistika menunjukkan bahwa konsentrasi H_2SO_4 0,2 M, pH_{awal} katolit 6 dan tanpa elektrolit pendukung Na_2SO_4 0,2 M merupakan konsentrasi optimum dengan nilai penurunan konsentrasi nikel sebesar 18,433% dan deposit nikel pada katodasebesar 0,042 gram.

1. Pendahuluan

Logam nikel banyak digunakan dalam proses elektroplating atau pelapisan logam karena memiliki sifat daya hantar listrik yang baik dan cukup kuat. Namun Nikel hanya terpakai sekitar 30–40% dalam proses pelapisan, sisanya akan dibuang sebagai limbah [1]. Nikel dalam limbah industri perlu diolah. Menurut Peraturan Pemerintah No. 18 Tahun 1999 tentang *Pengelolaan Limbah Berbahaya dan Beracun*, limbah dari industri elektroplating merupakan limbah B3 (Bahan Berbahaya dan Beracun) yang dapat memberikan dampak buruk bagi lingkungan. Salah satunya adalah penyakit kanker pada paru-paru dan rongga hidung manusia jika terkena kontak langsung. Di perairan, logam nikel (Ni) mempunyai baku mutu yang diijinkan sebesar 1,0 mg/L sehingga pengolahan air limbah yang mengandung Nikel harus dilakukan untuk meminimalis konsentrasi Ni yang masuk ke perairan [2].

Beberapa penelitian tentang elektrodepositi logam dengan menggunakan berbagai jenis elektrolit dan tipe sel ditunjukkan pada Tabel 1.

Tabel 1. Hasil penelitian terdahulu

Tipe sel	Elektrolit	Tegangan Listrik (Volt)	Efisiensi Penurunan Konsentrasi Nikel (%)	Energi spesifik (kWh/kg nikel)	Ref.
Dua ruang	Katolit: 2,2 g/L NiSO ₄ sebagai Ni, 1 M NaCl. Anolit: 1 M H ₂ SO ₄	5	72,44	6,1625	[3]
Dua ruang	Katolit: 40 g/L NiSO ₄ , 40 g/L H ₃ BO ₃ . Anolit: 0,5 M H ₂ SO ₄	4	94,17	5	[4]
Satu ruang	60 g/L Na ₂ SO ₄ , 6 g/L MgSO ₄ , H ₃ BO ₃ 12g/L - 36 g/L Cr ₂ (SO ₄) ₃ , Cr/Ni 0,46%, 0,93%, 1,85%.	2	3 – 11,3	[5]	
Satu ruang	10 g/L H ₃ BO ₃ , 40 mg/L SDS, of 80 g/L Ni ²⁺ , 10 g/L Na ⁺	0,7		[6]	
Satu ruang	60 g/L Na ₂ SO ₄ , 6 g/L MgSO ₄ , 36 g/L H ₃ BO ₃ , 12,5 g/L NiSO ₄ , 1,25 g/L Cr ₂ (SO ₄) ₃	2,6 – 2,8	1,12	5	[7]
Satu ruang	20 mg/L Ni ²⁺ , 20 mg/L Zn ²⁺ , 250 mg/L Na ₂ SO ₄ , 100 mg/L LAS, 500 mg/L K ₂ SO ₄	56		[8]	
Satu ruang	Ion-ion Cu, Ni, Fe, Pb, Zn, As, Sb, Bi. H ₂ SO ₄ , Cl ⁻	1,4 – 3	90		[9]
Dua ruang	Katolit: NiSO ₄ , CdSO ₄ , CuSO ₄ , asam sitrat, NTA, EDTA. Anolit: 0,1 M NaNO ₃		40		[10]
Satu ruang	NiSO ₄ , CdSO ₄ , Na ₂ SO ₄ , H ₃ BO ₃	0,88 – 1,004		[11]	
Satu ruang	NiSO ₄ , CuSO ₄ , NH ₄ OH	2,2 – 2,7	99,6	3,05	[12]
Satu ruang	NiSO ₄ , H ₃ BO ₃	4,3	90	4,2	[13]

Berdasarkan Tabel 1, jenis-jenis elektrolit pendukung yang pernah digunakan adalah H₃BO₃, NH₄OH, Na₂SO₄, H₂SO₄, K₂SO₄, MgSO₄ dan asam sitrat.

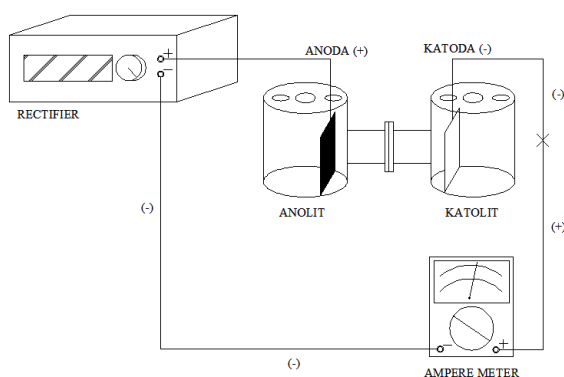
Pada penelitian ini menggunakan H₂SO₄ sebagai anolit dan Na₂SO₄ sebagai elektrolit pendukung dalam larutan katolit. H₂SO₄ dan Na₂SO₄ dipilih karena mengandung spesi ion yang banyak yaitu 3 spesi sehingga akan menghasilkan konduktivitas listrik yang besar, konduktivitas listrik tsb akan menimbulkan kuat arus listrik yang besar yang berdampak pada proses elektrodepositi nikel yang lebih cepat

Penelitian ini menggunakan daun eceng gondok sebagai pengganti membran penyekat antara ruang anoda dan katoda. Senyawa kimia selulosa asetat pada eceng gondok membuat daun eceng gondok tebal sehingga tidak mudah sobek dan *permeable* sehingga ion-ion dapat ditukarkan melalui pori-pori di permukaan daun [3]. Penelitian tentang sifat adsorpsi logam berat pada limbah elektroplating menggunakan ecek gondok telah dilakukan sebelumnya, dari penelitian tersebut diketahui bahwa eceng gondok mampu mengadsorbsi limbah elektroplating seperti Besi (Fe), tembaga (Cu) dan timbal (Pb) [14].

Tujuan dari penelitian ini adalah menurunkan konsentrasi nikel dari larutan tiruan air limbah elektroplating sedangkan tujuannya adalah memperoleh konsentrasi optimum H₂SO₄ dalam anolit dan konsentrasi Na₂SO₄ dalam katolit dan pH_{awal} katolit pada proses elektrodepositi nikel dari larutan tiruan limbah elektroplating. Perbedaan penelitian ini dengan penelitian sebelumnya adalah pada dilakukannya variasi konsentrasi anolit H₂SO₄ (0,2 M; 0,6 M dan 1 M), pH_{awal} (2, 4, 6) dan konsentrasi katolit pendukung Na₂SO₄ (0 M; 0,2 M; 0,6 M dan 1 M) sehingga dapat memperoleh konsentrasi optimum pada proses elektrodepositi nikel dari larutan tiruan limbah elektroplating.

2. Metode Penelitian

Penelitian dilakukan menggunakan sel elektrodepositi dua ruang (*double chamber electrodeposition cell/DCEC*) sistem *batch*. Prinsip yang digunakan adalah proses oksidasi pada anoda dan reduksi pada katoda. Prinsipnya akan terjadi proses reduksi Ni²⁺ menjadi Ni, atau penurunan konsentrasi nikel dalam larutan. Rangkaian alat percobaan terdiri dari dua ruang reaktor dengan daun eceng gondok sebagai biomembran penyekat, dilengkapi dengan pelat tembaga ukuran 4 cm x 6 cm x 0,0004 cm sebagai katoda, pelat grafit ukuran 4 cm x 6 cm x 4 mm sebagai anoda, sumber listrik arus searah (rectifier), voltmeter, amperemeter dan termometer [3] sebagaimana ditunjukkan pada Gambar 1.



Gambar 1. Susunan peralatan perobaan [3]

Sel elektrodepositi terdiri dari dua ruang berbentuk silinder masing-masing berdiameter 10 cm, tinggi 10 cm masing-masing diisi larutan anolit H_2SO_4 (ruang anoda) dan katolit $NiSO_4$ 2000 mg/L ditambah elektrolit pendukung Na_2SO_4 sebanyak 500 mL, kedua ruang berjarak 6 cm yang dihubungkan dengan suatu jembatan dan diberi penyekat berupa daun eceng gondok berdiameter 5 cm.

Termometer dipasang untuk memantau suhu pada masing-masing ruang. Sampling port dibuat pada bagian atap sel yang berfungsi untuk tempat pengambilan sampel dan pembuangan gas yang dihasilkan. Sumber arus listrik bolak balik (AC) dihubungkan dengan *rectifier* untuk diubah menjadi arus listrik searah (DC) yang dihubungkan dengan anoda dan katoda sel elektrodepositi. Percobaan elektrodepositi dilakukan pada temperatur kamar, dengan tegangan listrik sebesar 5 V. Perubahan pH katolit dan kuat arus listrik diamati selama percobaan yang berdurasi 1 jam setiap tempuhuan. Konsentrasi nikel dalam larutan katolit dianalisis menggunakan *atomic absorption spectroscopy* (AAS) pada saat awal dan akhir proses.

Penurunan konsentrasi nikel (penyisihan nikel) dalam larutan katolit dan deposit pada permukaan katoda merupakan parameter utama untuk mengevaluasi proses yang paling optimal. Deposit nikel pada permukaan katoda diukur secara gravimetri. Pada penelitian ini dibuat variasi konsentrasi anolit H_2SO_4 sebesar 0,2 M, 0,6 M dan 1 M; pH_{awal} katolit dibuat 2, 4 dan 6 dimodifikasi dengan menambahkan H_2SO_4 serta konsentrasi elektrolit pendukung Na_2SO_4 sebesar 0 M, 0,2 M, 0,6 M dan 1 M di dalam katolit. Percobaan dilakukan secara matriks sehingga jumlah percobaan sebanyak 36 sampel, dan dilakukan dua kali repetisi atau duplo. Analisis statistik data hasil percobaan dilakukan dengan software Minitab 17 metode multifaktor

3. Hasil dan Pembahasan

Ringkasan hasil percobaan dengan variasi komposisi elektrolit dapat dilihat pada Tabel 2 berikut ini.

Tabel 2. Hasil percobaan variasi komposisi elektrolit

No	pH _{awal} katolit	[Na_2SO_4] Katolit (M)	[H_2SO_4] Anolit (M)	Penurunan Konsentrasi Ion Nikel (%)	Energi Spesifik (kWh/kg Ni)	Deposit Ni (gram)	Efisiensi Arus (%)	Massa Endapan (gram)
1		0,2	19,34	189,888	0,002	2,416	0	
2	0	0,6	22,81	22,395	0,016	20,482	0	
3		1	14,96	22,433	0,015	20,447	0	
4		0,2	14,72	16,604	0,019	27,625	0	
5	0,2	0,6	18,86	11,150	0,074	41,138	0	
6		1	8,01	62,107	0,015	7,385	0	
7		0,2	11,32	22,694	0,05	20,211	0	
8	0,6	0,6	8,97	26,172	0,051	17,526	0	
9		1	11,06	22,259	0,048	20,607	0	
10		0,2	3,90	40,505	0,023	11,324	0	
11	1	0,6	14,32	38,159	0,028	12,021	0	
12		1	5,07	35,466	0,038	12,933	0	
13		0,2	15,87	7,412	0,025	61,888	0	
14	0	0,6	20,46	4,610	0,043	99,496	0	
15		1	19,12	5,268	0,04	87,068	0	
16		0,2	19,33	4,578	0,083	100,194	0,035	
17	0,2	0,6	20,83	41,468	0,016	11,061	0,008	
18		1	15,87	50,727	0,01	9,042	0,19	
19		0,2	21,58	132,917	0,007	3,451	0,141	
20	0,6	0,6	27,99	81,110	0,014	5,655	0,185	
21		1	18,96	154,470	0,006	2,969	0,288	
22		0,2	15,28	84,545	0,006	5,425	0,225	
23	1	0,6	2,94	463,409	0,002	0,990	0,283	
24		1	6,89	1014,359	0,001	0,452	0,293	
25		0,2	27,91	4,611	0,036	99,479	0	
26	0	0,6	15,94	4,661	0,034	98,405	0	
27		1	30,39	4,583	0,038	100,079	0	
28		0,2	24,22	12,679	0,044	36,178	0,056	
29	0,2	0,6	6,83	17,074	0,031	26,864	0,021	
30		1	24,60	40,316	0,015	11,377	0,131	
31		0,2	12,84	86,158	0,009	5,324	0,129	
32	0,6	0,6	19,21	165,305	0,005	2,775	0,152	
33		1	32,05	81,629	0,013	5,619	0,172	
34		0,2	30,52	134,784	0,005	3,403	0,275	
35	1	0,6	35,36	124,125	0,008	3,695	0,175	
36		1	29,11	302,535	0,004	1,516	0,304	

Untuk membandingkan kinerja reaktor elektrodepositi dari berbagai variasi konsentrasi anolit H_2SO_4 , elektrolit pendukung Na_2SO_4 di katolit dan pH_{awal} katolit dilakukan analisis beberapa parameter yaitu penurunan konsentrasi ion nikel, deposit nikel pada katoda, efisiensi arus dan energi spesifik. Penurunan konsentrasi ion nikel adalah presentasi penurunan konsentrasi ion nikel pada larutan katolit setelah melalui proses elektrodepositi. Deposit nikel adalah jumlah massa logam nikel yang menempel pada permukaan katoda. Efisiensi arus adalah presentasi penggunaan energi listrik untuk mendepositkan logam nikel di permukaan katoda. Energi spesifik adalah jumlah energi listrik (kWh) yang dibutuhkan untuk mendepositkan logam Ni pada permukaan katoda sebanyak 1 kg.

3.1. Penurunan Konsentrasi Ion Nikel dan Deposit Nikel

Pada ruang katoda terjadi reaksi reduksi ion nikel menjadi logam nikel yang terdeposisi pada permukaan katoda, oleh karena itu konsentrasi ion nikel dalam larutan katolit berkurang pada akhir percobaan seperti yang ditunjukkan oleh Tabel 2.

Berdasarkan data pada Tabel 2 dan dengan bantuan software Minitab 17 (analisis ANOVA), diperoleh *P-value* dari variabel-variabel percobaan dan interaksinya seperti ditunjukkan berikut ini:

Tabel 3. Analisis ANOVA terhadap Penurunan Konsentrasi Nikel

Source	P-Value
Model	0,000
Linear	0,000
✓ Anolit H ₂ SO ₄ (M)	0,968
✓ Katolit Na ₂ SO ₄ (M)	0,069
✓ pH _{awal} Katolit	0,000
2-Way Interactions	0,001
✓ Anolit H ₂ SO ₄ (M)*Katolit Na ₂ SO ₄ (M)	0,956
✓ Anolit H ₂ SO ₄ (M)*pH _{awal} Katolit	0,102
✓ Katolit Na ₂ SO ₄ (M)*pH _{awal} Katolit	0,000
3-Way Interactions	0,624
✓ Anolit H ₂ SO ₄ (M)*Katolit Na ₂ SO ₄ (M)*pH _{awal} Katolit	0,624

Hasil analisis ANOVA di Tabel 3, menunjukkan bahwa variabel yang paling berpengaruh terhadap penurunan konsentrasi ion nikel adalah pH_{awal} katolit, di mana nilai *P-value* nya 0 (<0,05). Tabel 2 menunjukkan kecenderungan penurunan konsentrasi ion nikel yang kecil pada pH_{awal} katolit yang lebih rendah. Fenomena ini sesuai dengan hasil penelitian mengenai *recovery* nikel yang dilakukan sebelumnya [13]. Hal ini terjadi karena pada pH_{awal} katolit 2 mengandung ion H⁺ yang lebih banyak dibandingkan pH_{awal} katolit 4 dan 6. Ion H⁺ tereduksi lebih dulu dibanding Ni²⁺ karena Ion H⁺ memiliki potensial reduksi lebih positif dibanding Ni²⁺, oleh karena itu semakin banyak jumlah ion H⁺ maka akan menghambat penurunan konsentrasi ion Ni²⁺.

Jika pH_{awal} katolit cukup tinggi, nikel yang tersisihkan dari larutan katolit sebagian mengendap ke dasar reaktor sebagai Ni(OH)₂ yang berwarna hijau dan sebagian lagi terdeposisi pada permukaan katoda sebagai Ni yang berwarna keperakan. Massa deposit nikel pada katoda dapat dilihat pada Tabel 2.

Berdasarkan data pada Tabel 2 dan dengan bantuan software Minitab 17, diperoleh hubungan matematik antara penurunan konsentrasi ion nikel (%) sebagai fungsi dari [H₂SO₄]_{anolit}, [Na₂SO₄]_{katolit} dan pH_{awal} katolit, seperti ditunjukkan pada persamaan (1):

$$R = 24,37 - 12,77 H - 26,4 N - 1,21 P + 6,8 H \times N + 3,21 H \times P + 5,75 N \times P - 1,78 H \times N \times P \quad (1)$$

Di mana:

$$R = \text{Penurunan } [\text{Ni}^{2+}] (\%)$$

$$H = [\text{H}_2\text{SO}_4]_{\text{anolit}} (\text{M})$$

$$N = [\text{Na}_2\text{SO}_4]_{\text{katolit}} (\text{M})$$

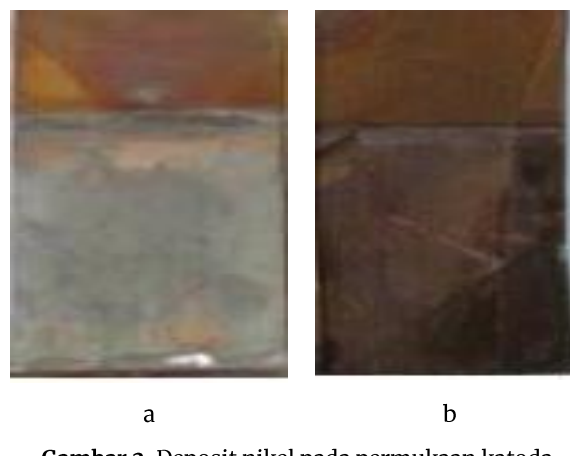
$$P = \text{pH}_{\text{awal}} \text{ katolit}$$

Dari persamaan (1) dapat ditentukan komposisi elektrolit yang menghasilkan penurunan konsentrasi ion nikel (%) maksimum, yaitu pada [H₂SO₄]_{anolit} = 1 M ; [Na₂SO₄]_{katolit} = 1 M dan pH_{awal} katolit = 6, yaitu sebesar 27,87 %.

Tabel 2 menunjukkan bahwa penambahan elektrolit pendukung Na₂SO₄ yang rendah (antara 0 dan 0,2 M) di dalam katolit menghasilkan deposit nikel yang lebih banyak. Penambahan elektrolit pendukung Na₂SO₄ pada konsentrasi 0,6 M dan 1 M menghasilkan deposit nikel yang lebih sedikit pada permukaan katoda. Peningkatan konsentrasi elektrolit pendukung Na₂SO₄ di dalam katolit akan meningkatkan pH katolit sehingga memicu pembentukan Ni(OH)₂ berwarna hijau yang mengendap di dasar reaktor [4] sesuai dengan reaksi 1:



Dalam proses elektrodepositi ini diharapkan lebih banyak deposit pada katoda sebagai nikel murni (Ni). Percobaan variasi pH_{awal} katolit 4, Na₂SO₄ 0,2 M, H₂SO₄ 0,2 M, memiliki deposit nikel yang paling besar dibandingkan variasi percobaan lainnya yaitu sebesar 0,083 gram Ni murni yang terbentuk di katoda. Deposit Ni pada permukaan katoda tembaga pada dua percobaan komposisi elektrolit ditunjukkan oleh Gambar 2.



Gambar 2. Deposit nikel pada permukaan katoda tembaga dalam proses elektrodepositi (a) Warna keperakan menunjukkan adanya pengendapan nikel (b) Warna tembaga menunjukkan kurangnya pengendapan nikel

Hasil percobaan menunjukkan bahwa lapisan permukaan katoda tembaga pada percobaan komposisi elektrolit yang menghasilkan deposit nikel adalah percobaan dengan pH_{awal} katolit 4, [Na₂SO₄]_{katolit} 0,2 M dan [H₂SO₄]_{anolit} 0,2 M yang menghasilkan berwarna

keperakan (warna nikel murni), sedangkan lapisan permukaan katoda tembaga pada percobaan pH_{awal} katolit 4, [Na₂SO₄]_{katolit} 1 M dan [H₂SO₄]_{anolit} 1 M menghasilkan deposit Nikel berwarna merah bata (warna tembaga) yang menunjukkan kurangnya deposit nikel pada permukaan katoda tembaga. Hal ini sejalan dengan yang ditunjukkan Tabel 2, percobaan komposisi elektrolit pH_{awal} katolit 4, [Na₂SO₄]_{katolit} 0,2 M dan [H₂SO₄]_{anolit} 0,2 M menghasilkan deposit Ni sebesar 0,083 gram, sedangkan percobaan komposisi elektrolit pH_{awal} katolit 4, [Na₂SO₄]_{katolit} 1 M dan [H₂SO₄]_{anolit} 1 M menghasilkan deposit 0,001 gram. Hal ini terjadi karena percobaan pH_{awal} katolit 4, [Na₂SO₄]_{katolit} 1 M dan [H₂SO₄]_{anolit} 1 M banyak menghasilkan gelembung gas yang mengganggu deposisi nikel pada permukaan katoda sebagai reaksi reduksi hidrogen yang menjadi parasit pada katoda [4]. Di katoda terjadi reduksi ion H⁺ menjadi gelembung gas H₂, gelembung H₂ akan menghambat pembentukan Ni pada permukaan katoda. Oleh karena itu jika ion H⁺ banyak di ruang katoda akan menimbulkan pembentukan gelembung H₂ yang banyak pula.

Berdasarkan data pada Tabel 4 dan dengan bantuan software Minitab 17 (analisis ANOVA), diperoleh *P-value* dari variabel-variabel percobaan dan interaksinya seperti ditunjukkan berikut ini:

Tabel 4. Analisis ANOVA terhadap Massa Deposit Nikel

Source	P-Value
Model	0,004
✓ Linear	0,007
✓ Anolit H ₂ SO ₄ (M)	0,933
✓ Katolit Na ₂ SO ₄ (M)	0,158
✓ pH _{awal} Katolit	0,001
2-Way Interactions	0,010
✓ Anolit H ₂ SO ₄ (M)*Katolit Na ₂ SO ₄ (M)	0,650
✓ Anolit H ₂ SO ₄ (M)*pH _{awal} Katolit	0,243
✓ Katolit Na ₂ SO ₄ (M)*pH _{awal} Katolit	0,002
3-Way Interactions	0,634
✓ Anolit H ₂ SO ₄ (M)*Katolit Na ₂ SO ₄ (M)*pH _{awal} Katolit	0,634

Berdasarkan hasil analisis ANOVA di atas, menunjukkan bahwa variabel yang paling berpengaruh terhadap massa deposit nikel adalah pH_{awal} katolit, di mana *P-value* nya 0,001 (<0,05). Tabel 2 menunjukkan bahwa deposit nikel terbanyak diperoleh pada pH_{awal} katolit 4. Pada pH < 2 banyak mengandung ion H⁺. Ion H⁺ tersebut akan tereduksi menjadi gas H₂ yang merupakan reaksi parasit terhadap elektrodeposisi nikel. Pada pH > 6 cenderung terjadi pembentukan Ni(OH)₂ yang mengakibatkan penurunan deposit Nickel [4].

Berdasarkan data pada Tabel 2 dan dengan bantuan software Minitab 17, diperoleh hubungan matematik antara massa deposit nikel (gram) sebagai fungsi dari [H₂SO₄]_{anolit}, [Na₂SO₄]_{katolit} dan pH_{awal} katolit, seperti ditunjukkan pada persamaan (2):

$$m_{Ni} = 0,0047 + 0,0326 H + 0,0558 N + 0,00697 P - 0,0155 H \times N - 0,00922 H \times P - 0,01797 N \times P + 0,0063 H \times N \times P \quad (2)$$

Di mana:

m_{Ni} = Deposit Ni (gram)

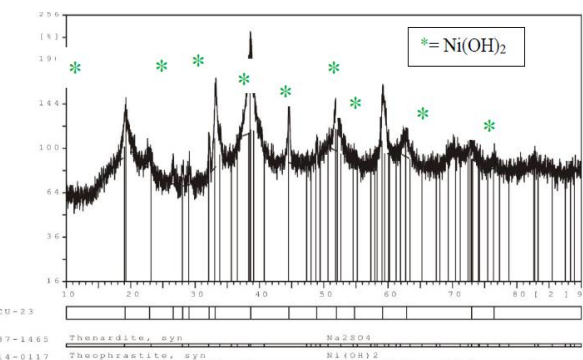
H = [H₂SO₄]_{anolit} (M)

N = [Na₂SO₄]_{katolit} (M)

P = pH_{awal} katolit

Dari persamaan (2) dapat ditentukan komposisi elektrolit yang menghasilkan berat deposit nikel (gram) maksimum, yaitu pada [H₂SO₄]_{anolit} = 0,2 M ; [Na₂SO₄]_{katolit} = 0 M dan pH_{awal} katolit = 6 yaitu sebesar 0,0463 gram.

Nikel selain terdepositi di permukaan katoda, juga terendapkan di dasar reaktor sebagai Ni(OH)₂. Endapan berwarna hijau yang berada di dasar reaktor adalah Ni(OH)₂ berdasarkan hasil analisis XRD seperti Gambar 3 berikut.



Gambar 3. Hasil analisis XRD endapan warna hijau pada dasar reaktor

Berdasarkan Tabel 2, jumlah endapan terbanyak terjadi pada percobaan dengan konsentrasi anolit H₂SO₄ 1 M, elektrolit pendukung Na₂SO₄ 1 M dan pH_{awal} katolit 6. Sedangkan pada semua percobaan yang tidak menggunakan elektrolit pendukung Na₂SO₄ tidak terbentuk endapan. Hasil pengamatan ini membuktikan bahwa penambahan Na₂SO₄ di dalam katolit akan memicu pembentukan Ni(OH)₂ [4], Na₂SO₄ berfungsi untuk meningkatkan konduktivitas larutan elektrokil. Semua percobaan yang pH_{awal} katolitnya 2 tidak membentuk endapan, hal ini menunjukkan bahwa ion nikel pada pH 2 selalu dalam keadaan terlarut, karena asam akan bereaksi dengan endapan sehingga membentuk asam/garam yang larut sehingga menyebabkan pergeseran kesetimbangan kelarutan

3.2. Energi Spesifik dan Efisiensi Arus

Percobaan pH_{awal} katolit 4, [Na₂SO₄]_{katolit} 0,2 M dan [H₂SO₄]_{anolit} 0,2 M menghasilkan energi spesifik terendah yaitu 4,578 kWh/kg nikel yang artinya untuk menyediakan 1 kg ion Ni²⁺ dari larutan katolit memerlukan energi sebesar 4,578 kWh. Nilai energi spesifik ini hampir sama dengan beberapa hasil penelitian terdahulu yaitu 3,05 kWh/kg nikel [12], 4,2

kWh/kg nikel [13], 5 kWh/kg nikel [7], 2-12 kWh/kg nikel [5] dan 4-5 kWh/kg nikel [4].

Tabel 2 menunjukkan kecenderungan kenaikan energi spesifik untuk setiap kenaikan $[Na_2SO_4]_{katolit}$. Hal ini menunjukkan bahwa penambahan elektrolit pendukung Na_2SO_4 dapat menghambat pembentukan deposit nikel pada permukaan katoda. Hal ini terjadi karena penambahan Na_2SO_4 mengakibatkan pH katolit meningkat sehingga menaikkan jumlah $Ni(OH)_2$ yang berakibat deposit menurun dengan reaksi yang sesuai dengan reaksi (1). pH yang terlalu basa akan menghasilkan ion OH^- yang memicu pembentukan $Ni(OH)_2$, sedangkan pada pH asam akan menghasilkan ion H^+ yang memicu pembentukan gelembung H_2 pada permukaan katoda yang dapat menghambat pembentukan Ni di permukaan katoda

Proses elektrodepositi ini diharapkan lebih banyak deposit pada katoda sebagai nikel (Ni) karena deposit Ni merupakan faktor yang berpengaruh dalam perhitungan energi spesifik, sebagaimana dalam persamaan penentuan energi spesifik jika semakin sedikit deposit Ni akan menghasilkan energi spesifik yang lebih besar. Efisiensi arus merupakan perbandingan antara massa deposit nikel aktual pada katoda dibandingkan dengan massa deposit nikel menurut perhitungan berdasarkan hukum Faraday. Efisiensi arus menunjukkan efektifitas penggunaan arus listrik untuk mendepositikan nikel pada katoda. Tabel 2 menunjukkan bahwa percobaan elektrodepositi yang tidak menggunakan elektrolit pendukung Na_2SO_4 di katolit umumnya memiliki nilai efisiensi arus yang besar. Meskipun massa deposit (pembilang) tidak besar, efisiensi arus dapat mencapai harga besar jika kuat arus (faktor dalam menyebut) cukup kecil. Data kuat arus listrik rata-rata untuk setiap percobaan elektrodepositi dapat dilihat pada Tabel 5.

Dari data pada Tabel 5 dan Tabel 2 terbukti bahwa efisiensi arus yang tinggi dan energi spesifik yang rendah tidak menghasilkan penurunan $[Ni^{2+}]$ yang besar. Dengan demikian, diperlukan optimasi yang menyeluruh untuk menentukan kondisi operasi yang dapat menurunkan $[Ni^{2+}]$ hingga mencapai baku mutu dengan energi spesifik yang rendah. Energi spesifik dan efisiensi arus dihitung berdasarkan massa deposit Ni pada katoda, maka optimasi dilakukan dengan variabel $[H_2SO_4]_{anolit}$, $[Na_2SO_4]_{katolit}$ dan pH_{awal} katolit untuk parameter massa deposit Ni dan penurunan $[Ni^{2+}]$. Berdasarkan kedua persamaan matematika (1) dan (2) dapat dilakukan optimasi untuk memperoleh penurunan $[Ni^{2+}]$ dan deposit Ni maksimum, sehingga memperoleh komposisi $[H_2SO_4]_{anolit}$ 0,2 M, $[Na_2SO_4]_{katolit}$ 0 M dan pH_{awal} katolit 6 yang menghasilkan penurunan $[Ni^{2+}]$ 18,433 % dan deposit Ni 0,042 gram. Hasil optimasi tersebut ketika dibandingkan dengan hasil pengamatan yang terdapat di Tabel 2 terdapat perbedaan nilai konsentrasi dan deposit Ni yaitu penurunan $[Ni^{2+}]$ sebesar 9,48% dan deposit Ni terbesar 0,006 gram.

Tabel 5. Kuat arus listrik rata-rata

No	pH_{awal} katolit	$[Na_2SO_4]$ Katolit (M)	$[H_2SO_4]_{Anolit}(M)$	I _{rata-rata} (mA)	Deposit Ni (gram)	Massa Endapan (gram)
1	2		0,2	59,2	0,002	0
2		0	0,6	65,6	0,016	0
3			1	70,1	0,015	0
4			0,2	113,9	0,019	0
5		0,2	0,6	197,9	0,074	0
6			1	193,6	0,015	0
7			0,2	195,2	0,05	0
8		0,6	0,6	310,0	0,051	0
9			1	256,5	0,048	0
10			0,2	215,3	0,023	0
11		1	0,6	223,0	0,028	0
12			1	321,3	0,038	0
13	4		0,2	33,6	0,025	0
14		0	0,6	33,3	0,043	0
15			1	45,1	0,04	0
16			0,2	105,7	0,083	0,035
17		0,2	0,6	114,8	0,016	0,008
18			1	124,1	0,01	0,19
19			0,2	158,2	0,007	0,141
20		0,6	0,6	253,9	0,014	0,185
21			1	237,3	0,006	0,288
22			0,2	127,7	0,006	0,225
23		1	0,6	220,8	0,002	0,283
24			1	256,8	0,001	0,293
25	6		0,2	34,6	0,036	0
26		0	0,6	35,1	0,034	0
27			1	36,9	0,038	0
28			0,2	110,7	0,044	0,056
29		0,2	0,6	118,6	0,031	0,021
30			1	130,9	0,015	0,131
31			0,2	149,8	0,009	0,129
32		0,6	0,6	171,7	0,005	0,152
33			1	244,2	0,013	0,172
34			0,2	157,8	0,005	0,275
35		1	0,6	201,9	0,008	0,175
36			1	294,1	0,004	0,304

4. Kesimpulan

Efisiensi arus dan energi spesifik tidak berpengaruh dalam penurunan nikel. Kondisi percobaan untuk menghasilkan deposit Ni terbanyak berdasarkan hasil optimasi persamaan (1) dan (2) yaitu (0,042 gram/jam) dan penurunan $[Ni^{2+}]$ terbesar dalam air limbah, yaitu pada kondisi tegangan kerja 5 Volt, jenis anoda grafit, jenis katoda tembaga, anolit H_2SO_4 0,2 M, $NiSO_4$ 2000 mg Ni/L, pH_{awal} katolit pada pH 6 dan tanpa elektrolit pendukung Na_2SO_4 .

Daftar Pustaka

- [1] Konstantinos Dermentzis, Removal of nickel from electroplating rinse waters using electrostatic shielding electrodialysis/electrodeionization, *Journal of Hazardous Materials*, 173, 1, (2010) 647–652 <https://doi.org/10.1016/j.jhazmat.2009.08.133>
- [2] Puji Rahayu, Khabibi Khabibi, Adsorpsi Ion Logam Nikel(II) oleh Kitosan Termodifikasi Tripolifosfat, *Jurnal Kimia Sains dan Aplikasi*, 19, 1, (2016) 21–26 <http://doi.org/10.14710/jksa.19.1.21–26>
- [3] Djaenudin Djaenudin, Mindriany Syafila, Edwan Kardena, Isdiriayani Nurdin, Pengaruh Jenis Anoda pada Proses Pemulihan Logam Nikel dari Tiruan Air Limbah Electroplating Menggunakan Sel Elektrodepositi, *Reaktor*, 14, 3, (2013) 211–217 <https://doi.org/10.14710/reaktor.14.3.211–217>
- [4] Xiu-lian Ren, Qi-feng Wei, Zhe Liu, Jun Liu, Electrodeposition conditions of metallic nickel in electrolytic membrane reactor, *Transactions of Nonferrous Metals Society of China*, 22, 2, (2012) 467–475 [https://doi.org/10.1016/S1003-6326\(11\)61200-4](https://doi.org/10.1016/S1003-6326(11)61200-4)
- [5] Pramujo Widiatmoko, Isdiriayani Nurdin, Pengaruh Krom Pada Elektrodepositi Nikel dari Larutan Nikel-Krom, *Jurnal Teknik Kimia Indonesia*, 10, 2, (2011) 54–60
- [6] Jing Lu, Qi-hua Yang, Zhao Zhang, Effects of additives on nickel electrowinning from sulfate system, *Transactions of Nonferrous Metals Society of China*, 20, (2010) s97–s101 [https://doi.org/10.1016/S1003-6326\(10\)60020-9](https://doi.org/10.1016/S1003-6326(10)60020-9)
- [7] Isdiriayani Nurdin, Pramujo Widiatmoko, Yanti, Nickel Recovery from Nickel and Chromium Containing Wastewater by Electrodeposition Method, in: International Conference on Environment 2010 (ICENV 2010), Penang, Malaysia, 2010.
- [8] H. D. Doan, A. Weli, J. Wu, A combined photocatalytic and electrochemical treatment of wastewater containing propylene glycol methyl ether and metal ions, *Chemical Engineering Journal*, 151, 1, (2009) 51–58 <https://doi.org/10.1016/j.cej.2009.01.041>
- [9] I. Giannopoulou, D. Panias, Copper and nickel recovery from acidic polymetallic aqueous solutions, *Minerals Engineering*, 20, 8, (2007) 753–760 <https://doi.org/10.1016/j.mineng.2007.02.009>
- [10] Y. Oztekin, Z. Yazicigil, Recovery of metals from complexed solutions by electrodeposition, *Desalination*, 190, 1, (2006) 79–88 <https://doi.org/10.1016/j.desal.2005.07.017>
- [11] U. S. Mohanty, B. C. Tripathy, P. Singh, S. C. Das, Effect of Cd²⁺ on the electrodeposition of nickel from sulfate solutions. Part II: Polarisation behaviour, *Journal of Electroanalytical Chemistry*, 566, 1, (2004) 47–52 <https://doi.org/10.1016/j.jelechem.2003.11.010>
- [12] P. Fornari, C. Abbruzzese, Copper and nickel selective recovery by electrowinning from electronic and galvanic industrial solutions, *Hydrometallurgy*, 52, 3, (1999) 209–222 [https://doi.org/10.1016/S0304-386X\(99\)00019-5](https://doi.org/10.1016/S0304-386X(99)00019-5)
- [13] G. Orhan, C. Arslan, H. Bombach, M. Stelter, Nickel recovery from the rinse waters of plating baths, *Hydrometallurgy*, 65, 1, (2002) 1–8 [https://doi.org/10.1016/S0304-386X\(02\)00038-5](https://doi.org/10.1016/S0304-386X(02)00038-5)
- [14] Sri Suryaningsih, Analisa Sifat Adsorpsi Logam Berat pada Eceng Gondok dalam Pengelolaan Air Limbah Elektroplating, *Jurnal Material dan Energi Indonesia*, 7, 1, (2017) 44–48 <https://doi.org/10.24198/jmei.v7i01.12368>